

I. P. ЮХНОВСЬКИЙ, Р. Р. ЛЕВИЦЬКИЙ,
С. І. СОРОКОВ

ДОСЛІДЖЕННЯ КВАЗІСПІНОВИХ СИСТЕМ У БАЗИСНОМУ ПІДХОДІ

Для теоретичного опису квазіспінових систем з суттєвими коротко- і далекодіючими взаємодіями запропоновано метод, який ґрунтуються на розрахунку функціоналу вільної енергії (ФВЕ) з базисним урахуванням короткодіючих взаємодій (виділення базисної системи відліку (БСВ)). Досліджене розвинення ФВЕ і функціоналів температурних кумулянтних функцій Гріна (КФГ) за далекодіючою взаємодією, проаналізовано і підсумовано різні класи діаграм для них. Для квантових квазіспінових систем з довільним квазіспіновим базисом вперше проведено повне сумування звідніх за блоком діаграм в ФВЕ і некомпактних діаграм в функціоналах температурних КФГ. Детально обговорюється методика одержання так званих узгоджених наближень для термодинамічних і динамічних характеристик досліджуваних систем. На основі числових розрахунків для тривимірної моделі Ізінга з унарним базисом показано, що для обох типів взаємодій поведінка параметра порядку описується незадовільно в однопетлевому наближенні і є придатною (крім вузького околу температури фазового переходу) з урахуванням сумування двохвосток.

1. Вступ

У сучасній статистичній теорії конденсованих систем велика увага приділяється дослідженню матеріалів, які описуються квазіспіновими гамільтоніанами [1—9]. Серед численного арсеналу методів статистичної фізики, які широко використовуються при дослідженні квазіспінових систем, провідна роль належить методу двочасових температурних функцій Гріна (ФГ) і діаграмним методам теорії збурень. Для теоретичного дослідження в широкому температурному діапазоні квазіспінових систем з далекодіючими взаємодіями, а також короткодіючими кореляціями при наявності великого числа близьких сусідів ($z \geq 6$) у кристалах часто використовується розклад за оберненим радіусом взаємодії [2, 3, 10, 11]. Для ізінгівських моделей розрахунки проводились з урахуванням сумування діаграм вищих порядків за $1/z$ [12—19]. При цьому в усіх запропонованих різними авторами варіантах теорії збурень незбурений гамільтоніан був гамільтоніаном унарного типу. Основна увага в цих працях приділялась динамічним аспектам теорії квазіспінових систем.

Для квазіспінових моделей з короткодіючими взаємодіями (особливо для низькорозмірних систем) досить ефективним є кластерний метод [5, 6, 20], який застосовувався в основному для розрахунку їх термодинамічних характеристик і був розвинутий коректно лише для гамільтоніанів з комутуючими між собою унарною частиною і частиною, яка описує взаємодію. Для кількох низькорозмірних квазіспінових моделей з короткодіючими взаємодіями мають місце і точні результати для термодинамічних характеристик і статичних кореляторів. Проте до цього часу не розв'язана послідовно проблема розрахунку динамічних характеристик згаданих моделей.

Разом з тим добре відомий широкий клас матеріалів, для яких суттєвими є коротко- і далекодіючі взаємодії між спінами. Серед них особливо слід виділити сегнетоактивні сполуки з водневими зв'язками [5, 6] і квазіодномірні магнетики [7]. Для адекватного опису таких об'єктів необхідний теоретичний підхід, який дозволив би використовувати різні математичні методи при врахуванні коротко- і далекодіючих взаємодій. Така проблема є типовою для статичної теорії багаточастинкових систем. Вона успішно розв'язувалась при вивченні рівноважливих властивостей класичних систем [21—24] і металів [25—28] на основі підходу, запропонованого у працях [21—25]. Далекодіючі взаємодії в цьому підході описуються в фазовому просторі колективних змінних, а короткодіючі — в фазовому просторі індивідуальних координат. При цьому систему з короткодіючими взаємодіями звичайно називають БСВ.

© I. P. Юхновський, Р. Р. Левицький, С. І. Сороков, 1993.

Дуже актуальною проблемою було створення відповідного методу, що ґрунтуються на базисному врахуванні короткодіючих кореляцій і для квазіспінових систем. Для розв'язання поставленої вище задачі у працях [29—31] запропоновано підхід, у рамках якого створена методика розрахунку термодинамічних і динамічних характеристик квазіспінових систем з суттєвими короткодіючими кореляціями і далекодіючими взаємодіями між квазіспінами, що ґрунтуються на базисному врахуванні короткодіючих кореляцій. Для квантових базисних квазіспінових гамільтоніанів вперше запропоновано послідовне формування методу кластерних розвинень для ФВЕ і розроблено метод, який дозволяє у рамках кластерного наближення одержати для базисних температурних КФГ довільного порядку рівняння типу Орнштейна — Церніке [32—34].

У даній статті коротко зупинимось на запропонованому в працях [29, 30] методі і одержаних на його основі результатах для конкретних квазіспінових моделей. Значна увага буде приділятись також методиці одержання узгоджених наближень для термодинамічних і динамічних характеристик квазіспінових систем, яка ґрунтуються на розрахунку ФВЕ.

2. Теорія квазіспінових систем з базисним врахуванням короткодіючих взаємодій

У даному пункті для теоретичного опису квазіспінових систем з суттєвими короткодіючими кореляціями і далекодіючими взаємодіями запропоновано метод, який ґрунтуються на базисному врахуванні короткодіючих кореляцій. Завдяки працям [21—24] виділяється БСВ, яка містить короткодіючі кореляції і середнє поле за далекодією. Повністю далекодіючі взаємодії враховуються за допомогою зображення ФВЕ досліджуваної системи через базисний ФВЕ.

Розглянемо спінову модель з коротко- і далекодією (СМКД), гамільтоніан якої запишемо у вигляді [29, 30]

$$-\beta H = \mathcal{H}(\Gamma) = {}^k\mathcal{H}(\Gamma) + \frac{1}{2} \sum_{na,n'b} J_{nn'}^{ab} S_n^a S_{n'}^b, \quad (2.1)$$

$${}^k\mathcal{H}(\Gamma) = \sum_{na} \Gamma_n^a S_n^a + {}^kV(S),$$

де

$${}^kV(S) = \frac{1}{2} \sum_{na,n'b} K_{nn'}^{ab} S_n^a S_{n'}^b + {}^kW(S). \quad (2.2)$$

Тут $K_{nn'}^{ab}$ і $J_{nn'}^{ab}$ — коротко- і далекодіюча складові парної взаємодії квазіспінів; S_n^a ($a = x, y, z$ при $d_s = 3$) — компоненти оператора спіна \hat{S} в d_s -мірному спіновому просторі, які задовольняють відомі комутаційні співвідношення. Тут прийнято: $S^z = -S, -S+2, \dots, S-2, S$. Доданок ${}^kW(S)$ описує багаточастинкові (тричастинкові, чотиричастинкові і т. ін.) взаємодії у квазіспіновій системі. У частковому випадку $a, b = z$ замість СМКД будемо вживати абревіатуру ІМКД (ізінгівська модель з коротко- і далекодією).

ФВЕ розглядуваної системи згідно з [29] має вигляд

$$\mathcal{F}(h, \Gamma) = \ln Z(h, \Gamma), \quad Z(h, \Gamma) = Sp_{(s)} e^{\mathcal{H}_h} T_\tau \exp \left[\int_0^\infty d\tau \mathcal{H}_\tau(\Gamma) \right]. \quad (2.3)$$

Тут

$$\mathcal{H}_h = \sum_{na} h_n^a S_n^a; \quad A_\tau = e^{-\tau \mathcal{H}_h} A e^{\tau \mathcal{H}_h}; \quad \mathcal{H}_\tau(\Gamma) = e^{-\tau \mathcal{H}_h} \mathcal{H}(\Gamma) e^{\tau \mathcal{H}_h}. \quad (2.4)$$

Вільну енергію, ФГ і КФГ досліджуваної системи будемо знаходити із наступних співвідношень:

$$-\beta F(\Gamma) = \mathcal{F}(\Gamma) = \mathcal{F}(h, \Gamma)|_{\Gamma_n^a = \Gamma_n^a}; \quad \tilde{S}_{n\tau}^a = e^{-\tau \mathcal{H}(\Gamma)} S_n^a e^{\tau \mathcal{H}(\Gamma)}, \quad (2.5)$$

$$h_n^a = 0$$

$$\langle T \tilde{S}_{1\tau_1}^{a_1} \dots \tilde{S}_{l\tau_l}^{a_l} \rangle_{\{\Gamma\}} = \left(\langle T_\tau S_{1\tau_1}^{a_1} \dots S_{l\tau_l}^{a_l} \rangle_{\{h, \Gamma\}} = \frac{a_1}{1\tau_1} \frac{a_2}{2\tau_2} \dots \frac{a_l}{l\tau_l} = \right. \\ \left. = \frac{1}{Z\{h, \Gamma\}} \frac{\delta}{\delta \Gamma_{1\tau_1}^{a_1}} \dots \frac{\delta}{\delta \Gamma_{l\tau_l}^{a_l}} Z\{h, \Gamma\} \right) \Big|_{\substack{\Gamma_{n\tau}^a = \Gamma_n^a \\ h_n^a = 0}}, \quad (2.6)$$

$$\langle T_\tau \tilde{S}_{1\tau_1}^{a_1} \dots \tilde{S}_{l\tau_l}^{a_l} \rangle_{\{\Gamma\}}^c = \left(\langle T_\tau S_{1\tau_1}^{a_1} \dots S_{l\tau_l}^{a_l} \rangle_{\{h, \Gamma\}} = \mathcal{F}^{(l)} \begin{pmatrix} a_1 & a_l \\ 1\tau_1 & l\tau_l \end{pmatrix} = \right. \\ \left. = \frac{a_1}{1\tau_1} \frac{a_2}{2\tau_2} \dots \frac{a_l}{l\tau_l} = \frac{\delta}{\delta \Gamma_{1\tau_1}^{a_1}} \dots \frac{\delta}{\delta \Gamma_{l\tau_l}^{a_l}} \mathcal{F}\{h, \Gamma\} \right) \Big|_{\substack{\Gamma_{n\tau}^a = \Gamma_n^a \\ h_n^a = 0}}. \quad (2.7)$$

Для БСВ мають місце співвідношення за аналогією до (2.3) — (2.7) з заміною $\mathcal{H}\{\Gamma\}$ на ${}^k\mathcal{H}\{\Gamma\}$. При цьому має місце наступна діаграмна відповідність:

$${}^k\mathcal{F}\{\Gamma\} = {}^k\mathcal{F}\{h, \Gamma\} \Big|_{\substack{\Gamma_{n\tau}^a = \Gamma_n^a \\ h_n^a = 0}}; \quad \tilde{S}_{n\tau}^a = e^{-\tau {}^k\mathcal{H}\{\Gamma\}} S_n^a e^{\tau {}^k\mathcal{H}\{\Gamma\}}; \quad (2.8)$$

$${}^k\langle T_\tau \tilde{S}_{1\tau_1}^{a_1} \dots \tilde{S}_{l\tau_l}^{a_l} \rangle_{\{\Gamma\}} = \left(\frac{a_1}{1\tau_1} \dots \frac{a_l}{l\tau_l} = l \begin{array}{c} 1 \quad 2 \\ \diagdown \quad \diagup \\ \text{---} \end{array} \right) \Big|_{\substack{\Gamma_{n\tau}^a = \Gamma_n^a \\ h_n^a = 0}}; \quad (2.9)$$

$$\begin{aligned} {}^k\langle T_\tau \tilde{S}_{1\tau_1}^{a_1} \dots \tilde{S}_{l\tau_l}^{a_l} \rangle_{\{\Gamma\}}^c &= \left(\frac{a_1}{1\tau_1} \dots \frac{a_l}{l\tau_l} = l \begin{array}{c} 1 \quad 2 \\ \diagdown \quad \diagup \\ \text{---} \end{array} \right. \\ &\quad \left. = {}^k\mathcal{F}^{(l)} \begin{pmatrix} a_1 & a_l \\ 1\tau_1 & l\tau_l \end{pmatrix} \right) \Big|_{\substack{\Gamma_{n\tau}^a = \Gamma_n^a \\ h_n^a = 0}}. \end{aligned} \quad (2.10)$$

Надалі нам буде необхідне наступне позначення для l -хвосток:

$$\lambda_{1,2,\dots,l}^{(l)} = \sum_{i_1} \dots \sum_{i_l} J_{1i_1} \dots J_{li_l} \langle T_\tau S_{i_1} \dots S_{i_l} \rangle_{\{h, \Gamma\}}^c + \delta_{l,2} J_{12}. \quad (2.11)$$

У діаграмній формі (2.11) набуває вигляду

$$\lambda_{1,2,\dots,l}^{(l)} = \begin{array}{c} 1 \\ \diagdown \quad \diagup \\ \text{---} \end{array} \dots \begin{array}{c} 1 \\ \diagdown \quad \diagup \\ \text{---} \end{array} + \delta_{l,2} \begin{array}{c} 1 \\ \diagdown \quad \diagup \\ \text{---} \end{array} = \begin{array}{c} 1 \quad 2 \\ \diagdown \quad \diagup \\ \text{---} \end{array} + \delta_{l,2} \begin{array}{c} 1 \\ \diagdown \quad \diagup \\ \text{---} \end{array}; \quad \begin{array}{c} 2 \\ \diagdown \quad \diagup \\ \text{---} \end{array} = J_{12}. \quad (2.11a)$$

Тут використано узагальнений індекс

$$i = {}^a_i \tau_i, \quad \sum_i (\dots) = \sum_{n_i, a_i} \int_0^1 d\tau_i (\dots). \quad (2.12)$$

У функціональній формі (2.1) має вигляд [29]

$$\mathcal{F}\{h, \Gamma\} = \ln \langle \exp [{}^k \mathcal{F}\{h, \Gamma + \sigma\}] \rangle_{\rho_0} = \ln \int D\sigma \exp [{}^k \mathcal{F}\{h, \Gamma + \sigma\}] \rho_0\{\sigma\}. \quad (2.13)$$

Тут введено гауссову функцію розподілу полів

$$\rho_0\{\sigma\} = (\det 2\pi J)^{-1/2} \exp \left[-\frac{1}{2} \sum_{na, n'b} \int \int d\tau d\tau' (J^{-1})^{ab}_{n\tau, n'\tau'} \sigma^a_{n\tau} \sigma^b_{n'\tau'} \right], \quad (2.14)$$

$$(J^{-1})^{ab}_{n\tau, n'\tau'} = \delta(\tau - \tau') (J^{-1})^{ab}_{nn'}; \quad J^{ab}_{n\tau, n'\tau'} = \delta(\tau - \tau') J^{ab}_{nn'}.$$

Перетворення зсуву приводить до результату

$$\mathcal{F}\{h, \Gamma\} = -U\{\bar{S}\} + \bar{f}\{h, \bar{x}, \bar{S}\}, \quad \bar{x}_i = \Gamma_i + \bar{\lambda}_i; \quad (2.15)$$

$$U\{\bar{S}\} = \frac{1}{2} \sum_{i,j} \bar{S}_i J_{ij} \bar{S}_j, \quad \bar{\lambda} = \sum_j J_{ij} \bar{S}_j; \quad (2.16)$$

$$\bar{f}\{h, \bar{x}, \bar{S}\} = \ln \int \mathcal{D}\sigma \rho_0\{\sigma\} \exp [\mathcal{F}\{h, \bar{x}, \bar{S}, \sigma\}], \quad (2.17)$$

$$\mathcal{F}\{h, \bar{x}, \bar{S}, \sigma\} = {}^k F\{h, \bar{x} + \sigma\} - \sum_{na} \int d\tau \bar{S}^a_{n\tau} \sigma^a_{n\tau}.$$

У випадку $S_i = \langle T_\tau S_i \rangle$ діаграмна перебудова ряду для $\bar{f}\{h, \bar{x}, \langle T_\tau \hat{S} \rangle\}$ приводить до зникнення діаграм типу однохвосток. При цьому одержуємо [29, 30]

$$\begin{aligned} \mathcal{F}\{h, \Gamma\} &= -U\{\langle T_\tau S \rangle\} + f\{h, \bar{x}\}, \\ \bar{f}\{h, \bar{x}, \langle T_\tau \hat{S} \rangle\} &= f\{h, \bar{x}\}, \quad \bar{x}_i = \Gamma_i + \lambda_i, \quad \lambda_i = \lambda_i^{(0)}. \end{aligned} \quad (2.18)$$

Тут $f\{h, \bar{x}\}$ — незвідна (за \sim) частина ФВЕ. Введемо діаграмне позначення

$$\text{---o---o---...---o} = \frac{\delta}{\delta x_1} \frac{\delta}{\delta x_2} \cdots \frac{\delta}{\delta x_l} f\{h, x\} = f_{1, \dots, l}^{(0)}\{h, x\}. \quad (2.19)$$

За аналогією до випадку $l = 2$ функціонали $\text{---o---o---...---o}$ при $l \geq 3$ можна назвати незвідною за лінією \sim (незвідною за Ларкіним) частиною КФГ l -го порядку.

Ефективна взаємодія в наближенні хаотичних фаз (НХФ) \hat{R}_0 і повна ефективна взаємодія (повна двохвостка) мають вигляд

$$\begin{aligned} \hat{R}_0 &= \text{---o---o---...---o} \left[1 - \text{---x---x---} \right]^{-1} \sim \sim, \\ \hat{R}^{(0)} &= \text{---o---o---o---} = \left[1 - \text{---o---o---} \right]^{-1} \sim \sim = \text{---o---o---} + \text{---o---o---} = \hat{R} \end{aligned} \quad (2.20)$$

Використовуючи (2.7), функціонали КФГ можна записати через $f_{1, \dots, l}^{(0)}\{h, x\}$. Зокрема, із (2.18) випливає

$$\langle T_\tau S_1 \rangle = f_1^{(0)}\{h, x\} = \text{---o---}, \quad (2.21a)$$

$$\text{---o---o---} = \left[1 - \text{---o---o---} \right]^{-1} \text{---o---o---}; \quad \text{---o---o---} = \text{---o---o---} + \text{---o---o---} \quad (2.21b)$$

В ирази для КФГ вищого порядку зручніше записати за допомогою l -хвосток. При цьому загальний вираз наступний:

$$\begin{aligned}
 & \text{Diagram 1} = l \text{Diagram 2} + \sum B(2) \text{Diagram 3} + \\
 & + \sum B(3) \ell \text{Diagram 4} + \dots + \sum B(l-2) \ell \text{Diagram } l \\
 \end{aligned} \tag{2.22}$$

Тут блок \circ має максимальний порядок l , мінімальний $-j$ ($\circ\circ\circ$), а число зовнішніх ліній \equiv дорівнює l . При заданому числі блоків m $\Sigma B(m)$ (...) означає сумування за всіма розбиттями на m блоків і за всіма нееквівалентними перестановками зовнішніх індексів $(1, \dots, l)$. У випадку $l = 3, 4$ із 2.22) одержуємо

$$\text{Diagram 1} = \text{Diagram 2}, \tag{2.23a}$$

$$\begin{aligned}
 \text{Diagram 3} &= \text{Diagram 4} + \text{Diagram 5} + \\
 & + \text{Diagram 6} + \text{Diagram 7} \tag{2.23b}
 \end{aligned}$$

Функціонали $f_{1, \dots, l}^{(l)} \{h, \kappa\}$, $l \geq 1$, можна зобразити у вигляді ряду діаграм із звичайними блоками $\times \times \cdots \times$ і також після сумування некомпактних діаграм у вигляді ряду лише компактних діаграм з потовщеними блоками $\times \times \cdots \times$ [29]. Зокрема, для $f_1^{(1)} \{h, \kappa\}$ і $f_{12}^{(2)} \{h, \kappa\}$ одержуємо

$$\langle T_\tau S_1 \rangle_{\{h, \kappa\}} = \otimes = \langle^k \mathcal{F}_1^{(1)} \{h, \kappa + \sigma\} \rangle_p = \int \mathcal{D}\sigma \langle^k \mathcal{F}_1^{(1)} \{h, \kappa + \sigma\} \rho \{\sigma\}, \tag{2.24}$$

$$\begin{aligned}
 f_{12}^{(2)} \{h, \kappa\} &= \text{Diagram 8} + \frac{1}{2!} \text{Diagram 9} + \frac{1}{3!} \text{Diagram 10} + \\
 & + \frac{1}{2} \sum P_{12} \text{Diagram 11} + \frac{1}{2^2} \text{Diagram 12} + \frac{1}{2} \text{Diagram 13} + \\
 & + \frac{1}{2!} \text{Diagram 14} \\
 \end{aligned} \tag{2.25}$$

Тут введено позначення для потовщеного (компактної) ефективної взаємодії

$$\hat{R} = \overbrace{\dots}^l = \left[1 - \overbrace{\dots}^l \right]^{-1}. \quad (2.26)$$

Потовщений блок зручно записати в інтегральній формі:

$$\otimes = \overbrace{\dots}^l = \langle {}^k \mathcal{F}_{1,\dots,l}^{(l)} \{ h, \kappa + \sigma \} \rangle = \int \mathcal{D} \sigma {}^k \mathcal{F}_{1,\dots,l}^{(l)} \{ h, \kappa + \sigma \} \rho \{ h, \kappa, \sigma \}, \quad (2.27)$$

$$\rho \{ h, \kappa, \sigma \} = \int \mathcal{D} \left(\frac{\zeta}{2\pi} \right) e^{i\zeta \sigma} M \{ h, \kappa, \zeta \}; \quad (2.28)$$

$$M \{ h, \kappa, \zeta \} = \exp \left[\sum_{m=2}^{\infty} \sum_1 \dots \sum_m (-i\zeta_1) \dots (-i\zeta_m) \frac{1}{m!} \lambda_{1,\dots,m}^{(m)} \{ h, \kappa \} \right]. \quad (2.29)$$

У диференціальній формі (2.27) має вигляд

$$\overbrace{\dots}^l = E \left\{ \frac{\delta}{\delta \kappa} \right\} {}^k \mathcal{F}_{1,\dots,l}^{(l)} \{ h, \kappa \}, \quad (2.30a)$$

$$E \left\{ \frac{\delta}{\delta \kappa} \right\} = \exp \left[\sum_{m=2} \sum_1 \dots \sum_m \frac{1}{m!} \lambda_{1,\dots,m}^{(m)} \{ h, \kappa \} \frac{\delta}{\delta \kappa_1} \dots \frac{\delta}{\delta \kappa_m} \right]. \quad (2.30b)$$

Внаслідок сумування звідних за блоком діаграм одержано вираз для ФВЕ [29] (див. також п. 3):

$$\begin{aligned} \mathcal{F} \{ h, \Gamma \} &= \langle {}^k \mathcal{F}^{(0)} \{ h, \kappa + \sigma \} \rangle_0 + \bar{\Phi} \{ h, \otimes \} - \\ &- \otimes \otimes - \sum_{m \geq 2} \frac{1}{m!} \overbrace{\dots}^l \lambda_{i_1,\dots,i_m}^{(m)} \{ h, \otimes \}. \end{aligned} \quad (2.31)$$

Тут функціонал $\bar{\Phi} \{ h, \otimes \}$ містить лише незвідні (за «одягненим» блоком \otimes) діаграми [29, 30] і після сумування ланцюгових діаграм може бути записаний у вигляді

$$\bar{\Phi} \{ h, \otimes \} = \frac{1}{2} \otimes \otimes - \frac{1}{2} s p \ln \left[1 - \overbrace{\dots}^l \right] + \bar{B} \{ h, \otimes \}. \quad (2.32)$$

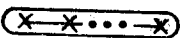
Функціонал $\bar{B} \{ h, \otimes \}$ з точністю до трьох компактних петель набуває вигляду (взаємодія $\overbrace{\dots}^l$ (2.26) позначена тут через $\langle \rangle$):

$$\begin{aligned} 2\bar{B} \{ \otimes, J \} &= \frac{1}{3!} \otimes \otimes \otimes + \frac{1}{4!} \otimes \otimes \otimes \otimes + \frac{1}{2^2} \otimes \otimes \otimes \otimes \otimes + \\ &+ \frac{1}{2^3} \otimes \otimes \otimes \otimes \otimes + \frac{1}{2^2 \cdot 3!} \otimes \otimes \otimes \otimes \otimes \otimes. \end{aligned} \quad (2.33)$$

Для повного функціоналу $\bar{\Phi} \{ h, \otimes \}$ виконуються тотожно співвідношення

$$\lambda_{i_1 \dots i_l}^{(l)} \{ h, \Gamma \} = \bar{\Phi}_{i_1 \dots i_l}^{(l)} \{ h, \otimes \} = \frac{\partial \bar{\Phi} \{ h, \otimes \}}{\partial \overbrace{\dots}^l}. \quad (2.34)$$

З урахуванням тотожностей (2.34) ФВЕ у вигляді (2.31) набуває властивості стаціонарності за блоками $\overbrace{\dots}^l$ ($l \geq 1$) чи за багатохвостка-

ми $\lambda_{i_1, \dots, i_l}^{(l)}$ ($l \geq 1$) (з урахуванням залежності блока  від багатохвосток (див. (2.27) — (2.29))).

У наступному пункті (2.31) одержимо іншим способом. У п. 4 буде сформульована загальна методика одержання узгоджених наближень для термодинамічних і динамічних характеристик СМКД, яка ґрунтується на розрахунку ФВЕ. Модель Ізінга з унарним базисом в однопетлевому наближенні, в r_0^{-d} і з урахуванням сумування двохвосток досліджена в п. 5. Тут також наведено і проаналізовано результати числових досліджень вільної енергії і параметра порядку.

3. Одержання виразу для функціоналу вільної енергії

Тут коротко зупинимось на одержанні (2.31) іншим способом у порівнянні з працею [29]. Функціонал $\Phi \{ \otimes, J \}$ згідно з [29] запишемо таким чином:

$$\bar{\Phi}_{\bar{\lambda}} \{ h, \otimes \} = \ln \int \mathcal{D}\sigma \exp [\bar{\mathcal{P}}_{\bar{\lambda}} \{ \otimes, \sigma \}], \quad (3.1)$$

$$\begin{aligned} \bar{\mathcal{P}}_{\bar{\lambda}} \{ \otimes, \sigma \} &= \sum_{l=1}^{\infty} \frac{1}{l!} \sum_{\{i\}} JR \text{ (diagram with } l \text{ loops)}_{\bar{\lambda}} = \\ &= \sum_{l=1}^{\infty} \frac{1}{l!} \sum_{\{i\}} JR \langle {}^k \mathcal{F}_{i_1, \dots, i_l}^{(l)} \{ h, \kappa + \sigma' \} \rangle_{\rho_{\bar{\lambda}}} \sigma_{i_1} \dots \sigma_{i_l}. \end{aligned} \quad (3.2)$$

При діаграмних розкладах в (3.1) необхідно залишити лише незвідні діаграми, що здійснюються за допомогою оператора незвідності блока JR , який зануляє блок  у випадку, коли він виявиться звідним у даній діаграмі. Вважатимемо, що багатохвостки $\bar{\lambda}_{i_1, \dots, i_l}^{(l)}$, які входять в $\rho_{\bar{\lambda}} \{ \sigma \} = \rho \{ \sigma, \bar{\lambda}^{(2)}, \bar{\lambda}^{(3)}, \dots \}$ (див. (2.28), (2.29)), є довільними функціоналами, а не обов'язково лише повними багатохвостками $\lambda_{i_1, \dots, i_l}^{(l)}$. Зручно записати ФВЕ (2.13) у наступному вигляді:

$$\mathcal{F} \{ h, \Gamma \} = {}^k \mathcal{F} \{ h, \Gamma \} + \ln \int \mathcal{D}\sigma \exp [\mathcal{P} \{ *, \sigma \}] \rho_0 \{ \sigma \}, \quad (3.3)$$

$$\begin{aligned} \mathcal{P} \{ *, \sigma \} &= \sum_{l \geq 1} \frac{1}{l!} \sum_{\{i\}} \text{ (diagram with } l \text{ loops)}_{\bar{\lambda}} = \\ &= {}^k \mathcal{F} \{ h, \kappa + \sigma \} - {}^k \mathcal{F} \{ h, \kappa \} = \sum_{l=1}^{\infty} \frac{1}{l!} \sum_{\{i\}} {}^k \mathcal{F}_{i_1, \dots, i_l}^{(l)} \{ h, \kappa \} \sigma_{i_1} \dots \sigma_{i_l}. \end{aligned} \quad (3.4)$$

Після тогожних перетворень (3.3) набуває вигляду

$$\mathcal{F} \{ h, \Gamma \} = {}^k \mathcal{F} \{ h, \Gamma \} + \bar{\Phi}_{\bar{\lambda}} \{ h, \otimes \} + \ln \langle \exp [\mathcal{P} \{ *, \sigma \}] - \bar{\mathcal{P}}_{\bar{\lambda}} \{ \otimes, \sigma \} \rangle. \quad (3.5)$$

Тут

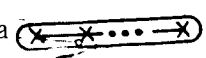
$$\langle \dots \rangle_{\bar{\mathcal{P}}_{\bar{\lambda}}} = \frac{\langle \exp [\bar{\mathcal{P}}_{\bar{\lambda}} \{ \otimes, \sigma \}] \dots \rangle_{\rho_0}}{\langle \exp [\bar{\mathcal{P}}_{\bar{\lambda}} \{ \otimes, \sigma \}] \rangle_{\rho_0}}. \quad (3.6)$$

Розглянемо функціональні похідні

$$\begin{aligned} \bar{\phi}_{i_1, \dots, i_l}^{(l)} \{ h, \otimes \} &= \text{ (diagram with } l \text{ loops)}_{\bar{\lambda}} \stackrel{\text{def}}{=} \frac{\partial \bar{\Phi}_{\bar{\lambda}} \{ h, \otimes \}}{\partial \sigma_{i_1} \dots \sigma_{i_l}} = \\ &= \langle JR \sigma_1, \dots, \sigma_l \rangle_{\bar{\mathcal{P}}_{\bar{\lambda}}} = \langle \sigma_1, \dots, \sigma_l \rangle_{\bar{\mathcal{P}}_{\bar{\lambda}}}^c. \end{aligned} \quad (3.7)$$

Останню рівність у (3.7) легко доказати [29]. Введемо функціонали розподілу $\rho_{\bar{\Phi}} \{ \sigma \} = \rho \{ \sigma, \bar{\Phi}^{(2)}, \bar{\Phi}^{(3)}, \dots \}$. Тепер легко одержати співвідношення

$$\langle \sigma_1, \dots, \sigma_l \rangle_{\bar{\Phi}_{\bar{\lambda}}}^c = \langle \sigma_1, \dots, \sigma_l \rangle_{\bar{\Phi}}^c. \quad (3.8)$$

З (3.7) можна одержати замкнуту систему рівнянь для $\bar{\lambda}_{1,\dots,l}^{(l)}$, якщо вимагати, щоб $\bar{\lambda}_{1,\dots,l}^{(l)}$ була рівна частинній похідній $\bar{\Phi}_{\bar{\lambda}}$ за  , тобто

$$\bar{\lambda}_{1,\dots,l}^{(l)} \equiv \bar{\Phi}_{1,\dots,l}^{(l)} \{ h, \otimes \} = \langle \sigma_1, \dots, \sigma_l \rangle_{\bar{\Phi}_{\bar{\lambda}}}^c. \quad (3.9)$$

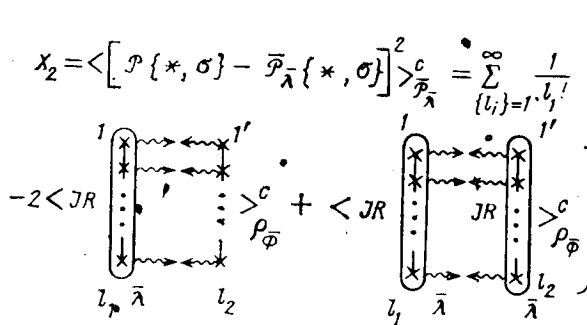
Система (3.9) збігається з системою рівнянь для повних багатохвосток (див. (2.34)). Тобто із (3.7) у припущеннях існування єдиного розв'язку випливає, що $\bar{\lambda}_{1,\dots,l}^{(l)} = \lambda_{1,\dots,l}^{(l)}$.

Розкладаючи середнє під знаком логарифма в (3.5) в ряд за кумулянтами і враховуючи (3.7) та (3.8), легко одержати

$$\begin{aligned} \mathcal{F} \{ h, \Gamma \} &= \langle {}^k \mathcal{F} \{ h, \Gamma + \sigma \} \rangle_{\rho_{\bar{\Phi}}} + \bar{\Phi}_{\bar{\lambda}} \{ h, \otimes \} - \sum_{l=1}^{\infty} \frac{1}{l!} + \\ &+ \sum_{l=2}^{\infty} \frac{1}{l!} \langle [\mathcal{P} \{ *, \sigma \} - \bar{\mathcal{P}} \{ \otimes, \sigma \}] \rangle_{\bar{\Phi}_{\bar{\lambda}}}^c. \end{aligned} \quad (3.10)$$

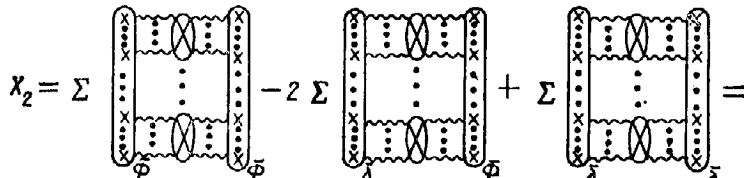

Тепер докажемо, що кожен член ряду за l в останньому доданку (3.10) при виконанні рівності (3.9) тотожно дорівнює нулеві.

Розглянемо схематично доданок з $l = 2$

$$x_2 = \langle [\mathcal{P} \{ *, \sigma \} - \bar{\mathcal{P}} \{ *, \sigma \}] \rangle_{\bar{\Phi}_{\bar{\lambda}}}^c = \sum_{\{ l_i \}=1}^{\infty} \frac{1}{l_1!} \frac{1}{l_2!} \left\{ \begin{array}{l} \text{Diagram showing two parallel vertical lines } l_1 \text{ and } l_2 \text{ with a cross } * \text{ at the top, and a } JR \text{ block between them.} \\ \text{Diagram showing two parallel vertical lines } l_1 \text{ and } l_2 \text{ with a cross } * \text{ at the top, and a } JR \text{ block between them.} \end{array} \right\} - \langle \mathcal{P} \{ *, \sigma \} \rangle_{\bar{\Phi}_{\bar{\lambda}}}^c - \langle \bar{\mathcal{P}} \{ *, \sigma \} \rangle_{\bar{\Phi}_{\bar{\lambda}}}^c \quad (3.11)$$


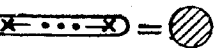
При інтегруванні за $\{ \sigma \}$ з $\rho_{\bar{\Phi}} \{ \sigma \}$ в (3.11) необхідно залишити лише зв'язані діаграми і незвідні за блоком $\otimes_{\bar{\lambda}}$ (внаслідок дії оператора JR). Частина багатохвосток буде відсумована, що приведе до одягання базисних

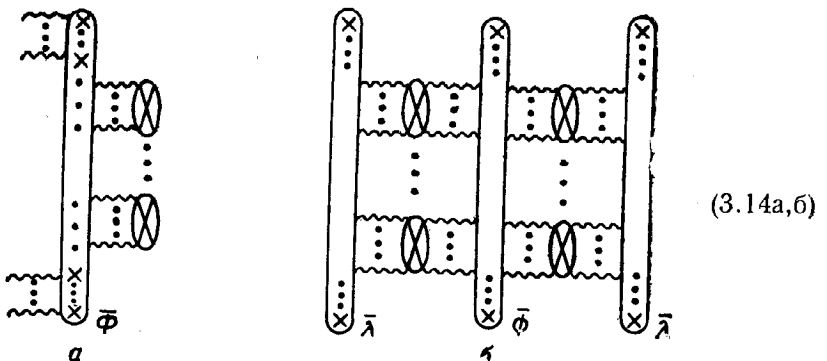
блоків, тобто  . У результаті формула (3.11) має наступний вигляд (схематично):

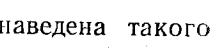
$$\begin{aligned} x_2 &= \sum \left[\text{Diagram with two vertical lines } l_1 \text{ and } l_2 \text{ with a cross } * \text{ at the top, and a } \otimes_{\bar{\Phi}} \text{ block between them.} \right] - 2 \sum \left[\text{Diagram with two vertical lines } l_1 \text{ and } l_2 \text{ with a cross } * \text{ at the top, and a } \otimes_{\bar{\lambda}} \text{ block between them.} \right] + \sum \left[\text{Diagram with two vertical lines } l_1 \text{ and } l_2 \text{ with a cross } * \text{ at the top, and a } \otimes_{\bar{\lambda}} \text{ block between them.} \right] = \\ &= \langle [\bar{\mathcal{P}}_{\bar{\Phi}} \{ \otimes_{\bar{\Phi}}, \sigma \} - \bar{\mathcal{P}}_{\bar{\lambda}} \{ \otimes_{\bar{\lambda}}, \sigma \}] \rangle_{\bar{\Phi}_{\bar{\lambda}}}^c. \end{aligned} \quad (3.12)$$


Числові коефіцієнти перед кожною конкретною діаграмою визначаються за правилами, які сформульовані у праці [29]. Зазначимо, що з (3.12) введено позначення

$$\begin{aligned} \tilde{\mathcal{P}}_{\bar{\Phi}}\{*, \sigma\} &= \sum_{l=1}^{\infty} \frac{1}{l!} \sum_{\{i\}} \tilde{JR} \begin{array}{c} \text{---} \\ | \\ i_1 \quad i_2 \quad \dots \quad i_l \end{array} \bar{\Phi} = \\ &= \sum_{l=1}^{\infty} \frac{1}{l!} \sum_{\{i\}} \tilde{JR} \langle {}^k \mathcal{F}_{i_1 \dots i_l}^{(l)} \{h, \kappa + \sigma'\} \rangle_{\rho_{\bar{\Phi}}} \sigma_{i_1} \dots \sigma_{i_l}. \end{aligned} \quad (3.13)$$

Оператор \tilde{JR} (3.13) зануляє діаграми, в які входить блок  з «багатохвостками» $\phi_{i_1, \dots, i_l}^{(l)} = \begin{array}{c} \text{---} \\ | \\ \text{---} \dots \text{---} \end{array}$, приєднаними лише до цього блока (наприклад, блок (3.14a)):



Такі діаграми вже відсумовано, що і привело до одягання базисних блоків. У той же час при $l \geq 3$ можуть залишатись також діаграми, в яких блок  є звідним. Як приклад (див. (3.14б)) наведена такого типу діаграма з X_3 . У загальному випадку для всіх l , як і для $l = 2$ (див. (3.12)), можна записати вираз

$$X_l = \langle [\mathcal{P}\{*, \sigma\} - \bar{\mathcal{P}}_{\bar{\lambda}}\{\otimes \bar{\lambda}, \sigma\}]^l \rangle_{\rho_{\bar{\Phi}}}^c \equiv \langle [\tilde{\mathcal{P}}_{\bar{\Phi}}\{\otimes, \sigma\} - \bar{\mathcal{P}}_{\bar{\lambda}}\{\otimes, \bar{\lambda}, \sigma\}]^l \rangle_{\rho_{\bar{\Phi}}}^c. \quad (3.15)$$

У випадку виконання співвідношення (3.9), як видно з діаграмної форми (3.12), має місце рівність $X_2 \equiv 0$. Проте при $l \geq 3$ рівність не є очевидною, оскільки в ряді $\tilde{\mathcal{P}}_{\bar{\Phi}}$ і $\bar{\mathcal{P}}_{\bar{\lambda}}$ входять оператори незвідності різного типу \tilde{JR} і JR . Покажемо, що і при довільному l у випадку (3.9) має місце рівність $X_l \equiv 0$. Введемо наступні умовні позначення для блоків:

$$\begin{array}{c} \text{---} \\ | \\ i_1 \quad i_2 \quad \dots \quad i_l \end{array} \bar{\lambda} = O_l; \quad \begin{array}{c} \text{---} \\ | \\ i_1 \quad i_2 \quad \dots \quad i_l \end{array} \bar{\Phi} = \bigcirc_{i_l}. \quad (3.16)$$

Багатохвостки  , які з'єднують блоки типу (3.16), не будемо явно вписувати, оскільки нас цікавитиме лише симетрія діаграм. Проведемо усереднення за $\rho_{\bar{\Phi}}$ в (3.15) і розгляньмо з X_l певний клас звідних за блоком  діаграм, які відрізняються одна від одної лише заміною світлих блоків

на «темні»  і навпаки. Вважатимемо, що в даному класі діаграм є K звідних «темних» блоків. Ці місця «світлі» блоки займати не можуть внаслідок дії оператора JR (див. (3.2)). Тоді сукупність діаграм даного класу з X_1 має вигляд

$$x_l \leftarrow (-1)^{l-k} \sum_{j_1, j_2, \dots, j_{l-k}, i_1, i_2, \dots, i_k} p_1 + (-1)^{l-k-1} \sum_{j_1, j_2, \dots, j_{l-k}, i_1, i_2, \dots, i_k} p_2 + \dots + (-1)^0 \sum_{j_1, j_2, \dots, j_{l-k}, i_1, i_2, \dots, i_k} p_l \quad (3.17)$$

Тут ΣP_m означає сумування за всіма можливими перестановками «темних» блоків за $(l - k)$ блочними місцями. У випадку виконання співвідношення (3.9) «темні» та «світлі» блоки стануть рівними один одному ($\otimes \equiv \circ$) і всі діаграми даного класу співпадають між собою. Сума коефіцієнтів при діаграмах типу (3.17) рівна

$$X_l \rightarrow (-1)^{l-k} [1 + (-1)^1 C_{l-k}^1 + (-1)^2 C_{l-k}^2 + \cdots + (-1)^{l-k} C_{l-k}^{l-k}] = \\ = (-1)^{l-k} (1 - 1)^{l-k} \equiv 0. \quad (3.18)$$

Таким чином, виконання співвідношення (3.9) приводить до того, що сума діаграм із звідними «темними» блоками зануляється. Це означає, що в (3.15) оператор \widehat{JR} , який входить в $\widehat{\mathcal{P}}_{\Phi}$, можна замінити оператором повної незвідності JR . Звідси і випливає внаслідок $\overline{\chi}^{(0)} = \overline{\Phi}^{(0)}$ (див. (3.9)) тотожність $X_i \equiv 0$.

В силу (3.10) випливає вираз для ФВЕ (2.31), який у праці [29] одержано іншим способом:

$$\mathcal{F}(h, \Gamma) \equiv \langle {}^k \mathcal{F}(h, \Gamma + \sigma) \rangle_{\rho_\lambda} + \overline{\Phi}_\lambda(h, \otimes) - \sum_{l=1}^{\infty} \frac{1}{l!} \sum_{\{i\}} \langle \mathcal{F}_{i_1 \dots i_l}^{(l)}(h, \kappa + \sigma) \rangle_{\rho_\lambda} \lambda_{i_1 \dots i_l}^{(l)}. \quad (3.19)$$

В (3.19) ми врахували, що $\bar{\lambda}^{(l)} \equiv \lambda^{(l)}$. З урахуванням (3.9) вираз (3.19) для ФВЕ набуває властивості стаціонарності [29]:

$$\frac{\partial \mathcal{F}\{h, \Gamma\}}{\partial \lambda_{1, \dots, l}^{(n)}} = 0; \quad l = 1 \div \infty. \quad (3.20)$$

Властивість стаціонарності (3.20) виконується і в тому випадку, якщо ряд за $\lambda^{(i)}$ в (3.19), в тому числі і в $\rho \{\sigma, \lambda^{(2)}, \lambda^{(3)}, \dots\}$, обмежити довільною верхньою границею ($M \geq 1$). Таке обмеження необхідне для наближеного розрахунку ФВЕ і природним чином вводиться при класифікації наближень для $\Phi_\lambda \{h, \otimes\}$ за кількістю петель. У попередньому пункті зазначено, що при наближеному розрахунку $\Phi_\lambda \{h, \otimes\}$ розв'язок (3.9) (чи еквівалентний (2.33)) дає так звані затравочні багатохвостки, які можуть не співпадати з повними, розрахованими на основі співвідношень (2.22).

4. Формулювання узгоджених наближень

Нехай ми знайшли в певному наближенні незвідний функціонал $f\{h, \kappa\}$ (див. (2.18)). Тоді використання тотожностей (2.7) приводить до співвідношень ((2.21) і (2.22) для функціоналів КФГ. Зазначимо, що в функціонал (2.22) l -го порядку ($l \geq 2$) входять похідні $f_{1,\dots,m}^{(m)}\{h, \kappa\}$ порядку $m = l - 2 \div l$. Наближення, запропоновані для функціоналів ВЕ і КФГ на основі незвідного функціоналу $f\{h, \kappa\}$ і співвідношень (2.21) і (2.22), називаємо узгодженими. Така процедура побудови узгоджених наближень зручна тим, що у випадку фазового переходу (ФП) другого роду деякі компоненти узагальнених статичних сприйнятливостей ($\{q_i\} = 0, \{\omega_n\} = 0$) всіх порядків будуть мати розбіжності при одній і тій же температурі — температурі ФП T_c . Вона визначається полосами статичної двохвостки κ (див. (2.20)), що входить в (2.22) як співмножник. Analogічне рівняння для T_c можна одержати, прирівнюючи до нуля коефіцієнт при t^2 (t — параметр порядку) в розкладі вільної енергії за t .

Нехай, наприклад, в системі, що розглядається, має місце ФП другого роду з параметром порядку t^2 . Тоді із (2.21а) шляхом розкладу у ряд за t^2 ($t^2 = \langle S^2 \rangle$) одержуємо наступну систему рівнянь (тут і надалі при записі рівняння для T_c температуру будемо явно виділяти):

$$1 - \sum_{a_1} f^{(2)za_1}(^0\beta_c \kappa_e, ^0\beta_c) J^{a_1 z} = 0, \quad ^0\beta_c = 1/T_c, \quad (4.1)$$

$$m^a = f^{(1)a}(^0\beta_c \kappa_c, ^0\beta_c), \quad a \neq z, \quad m^a = \langle S^a \rangle;$$

$$\kappa^a = \Gamma^a + \sum_{a_1 \neq z} J^{aa_1} m^{a_1}, \quad J^{aa_1} = J^{aa_1}(q)|_{q=0}, \quad (4.2)$$

$$f^{(2)ab} = f^{(2)ab}(q, \omega_n)|_{q=0, \omega_n=0}.$$

Перше рівняння системи (4.1) є фактично коефіцієнтом при $(t^2)^2$ в розкладі за t^2 вільної енергії (2.18). Якщо при отриманні рівнянь (2.21а) ми використали б незалежну методику (наприклад, проводили б часткове сумування діаграмного ряду для $\langle T_c S_1^a \rangle$ і знайшли б функціональну залежність $\langle T_c S_1^a \rangle = S_1^a\{h, \kappa\}$), то замість (4.2) одержали б:

$$1 - \sum_{a_1} S^{(1)za_1}(^1\beta_c \kappa_c, ^1\beta_c) J^{a_1 z} = 0, \quad (4.3)$$

$$m^a = S^a(^1\beta_c \kappa_c, ^1\beta_c), \quad a \neq z.$$

Якщо $S_1\{h, \kappa\} \neq f_1^{(1)}\{h, \kappa\}$, то температури 0T_c і 1T_c не співпадуть між собою.

Для статичних кумулянтних функцій Гріна \mathcal{Z}^{ab} має місце вираз

$$\hat{\mathcal{Z}}(q, \omega_n)|_{q, \omega_n=0} = \hat{\mathcal{Z}} = [1 - MJ]^{-1} M = (\langle T_c \tilde{\tilde{S}}_n^a \tilde{\tilde{S}}_{n'}^b \rangle)_{(q, \omega_n)}, |_{q, \omega_n=0}, \quad (4.4)$$

$$M^{ab} = M^{ab}\{q, \omega_n\}|_{q, \omega_n=0}, \quad J^{ab} = J^{ab}(q)|_{q=0}.$$

Статична сприйнятливість досліджуваної системи пропорційна функції \mathcal{Z}^{zz} , яка містить в знаменнику $1 - \sum_a M^{za} J^{az}$. Якщо визначити 2T_c як точку розбіжності \mathcal{Z}^{zz} , то прийдемо до системи рівнянь

$$1 - \sum_{a_1} M^{za_1}(^2\beta_c \kappa_c, ^2\beta_c) J^{a_1 z} = 0, \quad (4.5)$$

$$m^a = S^a(^2\beta_c \kappa_c, ^2\beta_c), \quad a \neq z.$$

Порівнюючи (4.1) і (4.5), легко бачити, що лише у випадку виконання співвідношень

$$S_i\{h, \kappa\} = \frac{\delta}{\delta \kappa_i} f\{h, \kappa\}; \quad M_{ij}\{h, \kappa\} = \frac{\delta}{\delta \kappa_i} \frac{\delta}{\delta \kappa_j} f\{h, \kappa\} \quad (4.6)$$

температури 0T_c , 1T_c , 2T_c , а також результати розрахунку m^a , \mathcal{Z}^{ab} , одержані в рамках деяких наближень для $f\{h, \kappa\}$, $S_i\{h, \kappa\}$ та $M_{ij}\{h, \kappa\}$, співпадають. Якщо при розрахунку m_i та M_{ij} скористатися методикою, описаною вище (див. (2.22)), то співвідношення (4.6) виконуються і вирази для m_i та \mathcal{L}_{ij} узгоджені. Аналогічний висновок належить функціям Гріна вищих порядків ($l \geq 3$).

Нехай ми для $f\{h, \kappa\}$, $\langle T_\tau S_{n\tau}^a \rangle \{h, \kappa\}$ та $\hat{M}\{h, \kappa\}$ використаємо звичайний розклад за петлями. Тоді, як зазначалось в [29, 30], внаслідок того що диференціювання $f\{h, \kappa\}$ за κ_i лише додає зовнішні вершини, не змінюючи числа петель у діаграмах, співвідношення (4.6) виконується. Отже, вирази для $f\{h, \kappa\}$, $\langle T_\tau S_i \rangle$ та $M_{ij}\{h, \kappa\}$ узгоджені. Якщо брати для $\hat{M}\{h, \kappa\}$ компактний розклад за петлями, то, як вказано в [29, 30], наближення для $\langle T_\tau S_{n\tau}^a \rangle \{h, \kappa\}$ і $\hat{M}\{h, \kappa\}$ не будуть узгодженими.

Тепер ще коротко для прикладу зупинимось на наближенні для $\langle T_\tau \hat{S}_i \rangle$ з точністю до двохвосток, взявши для $\lambda^{(2)}$ НХФ ($\text{---} \rightarrow \text{---}$). Тоді, використовуючи (2.24), можна записати

$$\langle T_\tau S_{n\tau}^a \rangle = \bigotimes_{n\tau \rho_2}^a, \quad (4.7a)$$

$$\frac{\partial}{\partial x_{n'\tau'}^b} \langle T_\tau S_{n\tau}^a \rangle = M_{n\tau, n'\tau'}^{ab} = \begin{array}{c} a \\ \text{---} \\ b \end{array} + \frac{1}{2} \begin{array}{c} a \\ n\tau \\ n'\tau' \\ b \end{array} \quad (4.7b)$$

Вирази (4.7) будуть узгодженими. Очевидно, (4.7b) не співпадає з компактним НХФ (див. (2.25)), коли обмежуватися лише першим доданком у (4.7b). Проте, наприклад, у випадку ІМКД у парафазі $\begin{array}{c} \text{---} \\ \text{---} \\ \text{---} \end{array} \rho_2 = 0$ і вираз (4.7b) співпадає з компактним НХФ.

Тепер розглянемо наближення для $\mathcal{F}\{h, \Gamma\}$ (див. (2.31), (2.18)), а отже і для $\lambda_{1, \dots, l}^{(0)}, \dots, \{h, \Gamma\}$ (2.22), яке будеться на основі наближеного виразу для $\bar{\Phi}\{\otimes, J\}$ (див. (2.31), (2.32)). Багатохвостки $\bar{\lambda}^{(l)}\{\otimes, J\}$, одержані з $\Phi\{\otimes, J\}$ на основі співвідношень (2.33), називатимемо затравочними. Завжди виконується співвідношення

$$\bar{\lambda}\{h, \Gamma\} = \frac{\delta}{\delta \otimes} \bar{\Phi}\{\otimes, J\} = \otimes = \langle {}^k \mathcal{F}_1^{(l)}\{h, \kappa + \sigma\} \rangle_\rho = \lambda^{(l)}\{h, \Gamma\}. \quad (4.8)$$

Вираз (4.8) співпадає з (2.24), тобто затравочна однохвостка завжди співпадає з повною. Зазначимо, що при деяких наближеннях для функціоналу $\bar{\Phi}\{\otimes, J\}$ можливий збіг затравочних і повних l -хвосток. Для наглядної ілюстрації розгляньмо наближення для $\bar{B}\{\otimes, J\}$ (2.32) з точністю до трьох петель. Тоді в $\bar{\Phi}\{\otimes, J\}$ не будуть входити блоки $\begin{array}{c} \text{---} \\ \text{---} \\ \text{---} \end{array}$ з числом вершин більше, ніж чотири. З (2.32) і (2.33) для затравочних l -хвосток при $l \geq 2$ випливають співвідношення

$$\bar{\lambda}_{j_1, \dots, j_l}^{(l)}\{\otimes, J\} = j_1 \{ \dots \} j_l \delta_{l,2} + \bar{\delta}_{j_1, \dots, j_l}^{(2)}\{\otimes, J\}, \quad (4.9)$$

$$\bar{B}_{j_1, \dots, j_l}^{(l)}\{\otimes, J\} = \frac{\delta}{\delta \begin{array}{c} \text{---} \\ \text{---} \\ \text{---} \end{array}} \bar{B}\{\otimes, J\}.$$

Підставляючи в (4.9) вираз (2.32), одержимо систему рівнянь для $\bar{\lambda}_1^{(1)}, \bar{\lambda}_{12}^{(2)}$, $\bar{\lambda}_{123}^{(3)}, \bar{\lambda}_{1234}^{(4)}$ з точністю до трьох петель:

$$\begin{aligned}\bar{\lambda}_1^{(2)} &= \dots \otimes = \lambda_1^{(1)}; \quad \lambda_1^{(1)a} = \sum_b J^{ab} (\vec{q} \rightarrow 0) \langle {}^k \mathcal{F}^{(1)a} \{h, \omega + \sigma\} \rangle_{\rho_a}, \\ \bar{\lambda}_{12}^{(2)} &= \text{Diagram } 1_2 + \frac{1}{2} \text{Diagram } 1_1 2_2 + \frac{1}{3!} \text{Diagram } 1_1 2_2 + \frac{1}{2!^2} \text{Diagram } 1_1 2_2 + \frac{1}{2} \sum P_{12} \text{Diagram } 1_1 2_2 + \\ &+ \frac{1}{2!^2} \text{Diagram } 1_1 2_2 + \frac{1}{2} \text{Diagram } 1_1 2_2 + \frac{1}{3!} \text{Diagram } 1_1 2_2 + \frac{1}{3} \text{Diagram } 1_1 2_2, \\ \bar{\lambda}_{123}^{(3)} &= \text{Diagram } 1_2 3_3 + \frac{1}{2} \sum P_{123} \text{Diagram } 1_2 3_3 + \frac{1}{2} \sum P_{123} \text{Diagram } 1_2 3_3 + \frac{1}{3!} \text{Diagram } 1_2 3_3, \\ \bar{\lambda}_{1234}^{(4)} &= \text{Diagram } 1_2 3_4 + \sum P_{1234} \text{Diagram } 1_2 3_4.\end{aligned}\quad (4.10)$$

Явний вигляд «одягнених» блоків наведено у п. 2 (див. (2.27) — (2.29)) із заміною $\lambda_{i_1, \dots, i_l}^{(l)} \rightarrow \bar{\lambda}_{i_1, \dots, i_l}^{(l)}$. У загальному випадку для однорідного поля ($h_n^a = 0, \Gamma_{n\tau}^a = \Gamma^a$) (4.10)) являє собою систему функціональних рівнянь відносно затравочних багатохвосток:

$$\begin{aligned}\lambda^a(\Gamma) &= \sum_b J^{ab} \langle S^b \rangle, \quad \bar{\lambda} \left(\begin{array}{cc|c} a_1 & a_2 & \\ n_1 \tau_1 & n_2 \tau_2 & \end{array} \middle| \{\Gamma\} \right), \\ \bar{\lambda} \left(\begin{array}{ccc|c} a_1 & a_2 & a_3 & \\ n_1 \tau_1 & n_2 \tau_2 & n_3 \tau_3 & \end{array} \middle| \{\Gamma\} \right), \quad \bar{\lambda} \left(\begin{array}{cccc|c} a_1 & a_2 & a_3 & a_4 & \\ n_1 \tau_1 & n_2 \tau_2 & n_3 \tau_3 & n_4 \tau_4 & \end{array} \middle| \{\Gamma\} \right).\end{aligned}\quad (4.11)$$

У випадку моделі Ізінга з далекодією ${}^k V \{S\} = 0, S_n^a = \delta_{az} S_n^z, {}^k \mathcal{F}_{1, \dots, l}^{(l)} = \delta_{12} \dots \delta_{1l} \mathcal{F}_1^{(l)}$ (4.10) зводиться до системи трансцендентних рівнянь відносно невідомих

$$\lambda_1^{(1)} = J(\vec{q} \rightarrow 0) \langle S^z \rangle; \quad \bar{\lambda}_1^{(2)}, \bar{\lambda}_1^{(3)}, \bar{\lambda}_1^{(4)}. \quad (4.12)$$

Для ІМКД інтеграли (2.27) мають кратність N (N — число вузлів у гратці). Проте, використовуючи для функціоналу ${}^k \mathcal{F} \{\omega + \sigma\}$ кластерні розклади за змінним σ_i , інтеграли в (2.27) можуть бути зведені до однодвократних і т. ін. Ця процедура в наближенні $m = 2$ розглядалась у праці [30].

Нарешті, для СМКД виникають континуальні інтеграли за змінними $\sigma_{n\tau}^a$. Тут також можуть бути виділені ізінгівські флюктуації за змінними σ_n^a ($\omega_n = 0$). Врахування таких флюктуацій на прикладі квантових моделей з унарним базисом буде здійснено в окремій праці. У загальному випадку для СМД необхідні затравочні багатохвостки $\bar{\lambda} \left(\begin{array}{ccccc|c} a_1 & a_2 & \dots & a_l & & \\ 1 \tau_1 & 1 \tau_2 & \dots & l \tau_l & & \end{array} \middle| \{\Gamma\} \right)$, які залежні, як в ІМД, лише від одного вузольного індексу $l = 1$. Проте при цьому в (2.27) залишаються континуальні інтеграли за $\sigma_{n\tau}^a$ за рахунок τ .

Розв'язуючи систему (4.10), одержимо лише спостережувані величини

$$m^a = \langle S_n^a \rangle = \langle T_\tau S_{n\tau}^a \rangle_{\{h, \Gamma\}} \Big|_{\substack{\Gamma_{n\tau}^a = \Gamma \\ h_n^a = 0}} \quad (4.13)$$

Для знаходження вільної енергії використаємо вираз (2.31), який з урахуванням явного вигляду (4.10) для затравочних l -хвосток з точністю до трьох

петель матиме вигляд

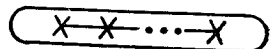
$$\begin{aligned}
 \mathcal{F}\{\Gamma, J\} = & -\frac{1}{2} \text{Diagram}_1 + \langle {}^k \mathcal{F}\{h, \Gamma + \sigma\} \rangle_{P_4} - \frac{1}{2} \ln [1 - \text{Diagram}_2] - \\
 & - \frac{1}{2} \text{Diagram}_3 - \frac{1}{2 \cdot 3!} \text{Diagram}_4 - \frac{1}{2^2} \text{Diagram}_5 - \frac{1}{2 \cdot 4!} \text{Diagram}_6 - \frac{1}{2 \cdot 3!} \text{Diagram}_7 - \\
 & - \frac{1}{2^2} \text{Diagram}_8 - \frac{1}{2^3} \text{Diagram}_9 - \frac{1}{2} \text{Diagram}_{10} - \frac{3}{2^4} \text{Diagram}_{11} - \frac{1}{2^3} \text{Diagram}_{12} - \\
 & - \frac{1}{2^2} \text{Diagram}_{13} - \frac{7}{2^3 \cdot 3!} \text{Diagram}_{14} - \frac{1}{3!} \text{Diagram}_{15} - \frac{1}{2 \cdot 3!} \text{Diagram}_{16}. \tag{4.14}
 \end{aligned}$$

Для отримання КФГ l -го порядку на основі (2.22) необхідно обчислювати похідні за x_i , від функціоналу $f\{h, x\}$ (див. (2.18)). У результаті виникають похідні від затравочних багатохвосток

$$\bar{\lambda}_{i_1, \dots, i_l; i_1, \dots, i_m}^{(l)} = \frac{\delta}{\delta x_{i_m}} \cdots \frac{\delta}{\delta x_{i_1}} \bar{\lambda}_{i_1, \dots, i_l}^{(l)}. \tag{4.15}$$

Рівняння для них можна одержати, диференціюючи за x_i систему (4.10). Для розрахунку парної КФГ необхідно знати лише першу похідну $\bar{\lambda}_{i_1, \dots, i_l}^{(1)}$. У наступному пункті детально зупинимося на наближенні для $\Phi\{\otimes, J\}$ з точністю до однієї петлі, що відповідає врахуванню у виразах (4.14) перших чотирьох доданків.

Зауважимо, що в принципі можлива побудова наближень для функціоналу $\bar{B}\{\otimes, J\}$ на основі вибіркового сумування певного класу діаграм [23].

У цьому випадку в $\bar{B}\{\otimes, J\}$ будуть входити блоки  з довільним числом вершин « l ». Тому обриву рядів за затравочними багатохвостками не буде і ми не зможемо використати для розрахунку фізичних характеристик методику, сформульовану в даному пункті.

Як зазначено в [29, 30], точний ФВЕ задовільняє тотожність

$$\frac{\partial}{\partial J_{ij}} \mathcal{F}\{h, \Gamma\} = \frac{\partial}{\partial \Gamma_i} \frac{\partial}{\partial \Gamma_j} \mathcal{F}\{h, \Gamma\} + \frac{\partial}{\partial \Gamma_i} \mathcal{F}\{h, \Gamma\} \frac{\partial}{\partial \Gamma_j} \mathcal{F}\{h, \Gamma\}, \tag{4.16}$$

яка за початкової умови $\mathcal{F}\{h, \Gamma\}|_{J=0} = {}^k \mathcal{F}\{h, \Gamma\}$ може використовуватись як рівняння в частинних похідних для знаходження ФВЕ [29]. Проте для наближень для $\mathcal{F}\{h, \Gamma\}$, що нами розглядаються, тотожність (4.16) може не виконуватись. Зокрема, вона не виконується при побудові наближень для $f\{h, x\}$ за числом петель (виключаючи, проте, однопетлеве наближення в парафазі для моделі Ізінга та моделі Ізінга в поперечному полі). Звичайно, для вказаних наближень з певним ступенем точності за R_{ij} (див. (2.20)) чи J_{ij} (4.16) буде задовільнятись [29].

5. Розрахунок термодинамічних характеристик ізингівських моделей з базисним гамільтоніаном середнього поля

У даному пункті розглянемо ІМД і обмежимося для $\mathcal{F}\{\Gamma\}$ наближенням з точністю до двохвосток (четири перших доданки в (4.14)). Зазначимо, що абревіатуру ІМД вживатимемо і у випадку наближення близьких сусідів (НБС) для короткодіючих взаємодій. Запишемо вираз для вільної енергії на один вузол $\varphi(t)$ для досліджуваної моделі у вигляді

$$\begin{aligned}
 \varphi(t) = & -\frac{T}{J} \frac{1}{N} \mathcal{F}(\Gamma) = \frac{1}{2} m^2 - t \langle {}^0 \mathcal{F}^0(x_\xi/t) \rangle - \\
 & - \frac{t}{2} \int_{\zeta_0}^{\infty} d\zeta / \zeta A(\zeta) + \frac{t}{2} \bar{\lambda}^{(2)}(t) \langle {}^0 \mathcal{F}^{(2)}(x_\xi/t) \rangle. \tag{5.1}
 \end{aligned}$$

Тут використано такі перетворення і позначення:

$$\langle {}^0\mathcal{F}^{(l)}(\tilde{\kappa}_\xi/t) \rangle_\xi = \frac{1}{2\pi} \int_{-\infty}^{\infty} d\xi {}^0\mathcal{F}^{(l)}(\tilde{\kappa}_\xi/t) \exp\left(-\frac{1}{2}\xi^2\right); \quad (5.2a)$$

$$A(\zeta) = \frac{1}{N} \sum_q \frac{j(q)}{\zeta - j(q)}, \quad t = T/J, \quad j(q) = J(q)/J; \quad (5.2b)$$

$$\tilde{\kappa} = t\kappa = \Gamma/J + m, \quad \tilde{\kappa}_\xi = \tilde{\kappa} + \xi \sqrt{\bar{\lambda}^{(2)}(t)},$$

$$\lambda^{(1)}(t) = \lambda_1^{(1)}(\kappa), \quad \bar{\lambda}^{(2)}(t) = \bar{\lambda}_{11}^{(2)}(\kappa), \quad \zeta_0 = t/\langle {}^0\mathcal{F}^{(2)}(\tilde{\kappa}_\xi/t) \rangle_\xi. \quad (5.3)$$

Вираз для ${}^0\mathcal{F}^{(0)}(x)$ для довільного спіна має вигляд

$${}^0\mathcal{F}^{(0)}(x) = \ln \{ \operatorname{sh}[(S+1)x] \operatorname{sh}^{-1}(x) \}_{S=1} \rightarrow \ln [2 \operatorname{ch}(x)]. \quad (5.4)$$

Зазначимо, що в (4.10) слід обмежитися лише першими двома рівняннями. Внаслідок одержуємо систему рівнянь для невідомих $m(t)$ і $\bar{\lambda}^{(2)}(t)$:

$$m(t) = \langle {}^0\mathcal{F}^{(1)}(\tilde{\kappa}_\xi/t) \rangle_\xi; \quad (5.5a)$$

$$\bar{\lambda}^{(2)}(t) \langle {}^0\mathcal{F}^{(2)}(\tilde{\kappa}_\xi/t) \rangle_\xi = A \left(\frac{t}{\langle {}^0\mathcal{F}^{(2)}(\tilde{\kappa}_\xi/t) \rangle_\xi} \right). \quad (5.5b)$$

Тут вираз для $A(x)$ дається формулою (5.2б), а фур'є-образ двохвостки $\bar{\lambda}_{nn'}^{(2)}(t)$ має вигляд

$$\bar{\lambda}^{(2)}(q, t) = j(q) [t - j(q) \langle {}^0\mathcal{F}^{(2)}(\tilde{\kappa}_\xi/t) \rangle_\xi]^{-1} \equiv \tilde{R}(q, t). \quad (5.6)$$

Для визначення сприйнятливості ($\chi(q) \sim \mathcal{L}(q)$) ІМД необхідно розрахувати незвідну частину $M(q, t)$. Диференціюючи вираз для $m(t)$ (див. (4.7а), (4.7б)), одержимо

$$M(q, t) = \langle {}^0\mathcal{F}^{(2)}(\tilde{\kappa}_\xi/t) \rangle_\xi + \frac{1}{2} \langle {}^0\mathcal{F}^{(3)}(\tilde{\kappa}_\xi/t) \rangle_\xi Y(q, t); \quad (5.7a)$$

$$\mathcal{L}(q, t) = \frac{t M(q, t)}{t - j(q) M(q, t)}, \quad R(q, t) = \frac{j(q)}{t - j(q) M(q, t)} = \lambda^{(2)}(q, t). \quad (5.7b)$$

Тут введено функцію

$$Y(q, t) = (Y(1-2))(q) = \left(\frac{\delta}{\delta \kappa_2} \bar{\lambda}_{11}^{(2)}(\kappa) \right)(q) = \\ = \left[1 - \frac{1}{2} \langle {}^0\mathcal{F}^{(4)}(\tilde{\kappa}_\xi/t) \rangle_\xi B(q, t) \right]^{-1} \langle {}^0\mathcal{F}^{(3)}(\tilde{\kappa}_\xi/t) \rangle_\xi B(q, t), \quad (5.8)$$

де

$$B(q, t) = \frac{1}{N} \sum_{q'} \bar{\lambda}^{(2)}(q', t) \bar{\lambda}^{(2)}(q - q', t). \quad (5.9)$$

У парафазі ($t \geq t_c$, $\kappa = 0$, $\langle {}^0\mathcal{F}^{(2n+1)}(\sigma) \rangle_{\rho_2} = 0$) $\mathcal{L}(q, t)$ має вигляд

$$\mathcal{L}(q, t) = t \langle {}^0\mathcal{F}^{(2)}(\sqrt{\bar{\lambda}^{(2)}(t)} \xi/t) \rangle_\xi [t - j(q) \langle {}^0\mathcal{F}^{(2)}(\sqrt{\bar{\lambda}^{(2)}(t)} \xi/t) \rangle_\xi]^{-1}, \quad (5.10a)$$

$$\lambda^{(2)}(q, t) = j(q) [t - j(q) \langle {}^0\mathcal{F}^{(2)}(\sqrt{\bar{\lambda}^{(2)}(t)} \xi/t) \rangle_\xi]^{-1} = \bar{\lambda}^{(2)}(q, t), \quad (5.10b)$$

причому двохвостка $\bar{\lambda}^{(2)}(t)$ знаходиться на основі (5.5б). Таким чином, у парафазі в наближенні, яке нами розглядається, повна $\bar{\lambda}_{12}^{(2)}$ і затравочна $\bar{\lambda}_{12}^{(2)}$ двохвостки співпадають. Крім того, можна показати, використовуючи (5.1), виконання тотожності (4.16). У впорядкованій фазі ($t \leq t_c$) слід розв'язувати систему рівнянь (5.5) відносно невідомих $\lambda^{(1)}$ і $\bar{\lambda}^{(2)}$. Для температури розбіжності t_0 (t_0 — границя стійкості парафази) сприйнятли-

вості (5.10а) у випадку $q = 0$ з урахуванням (5.5) одержуємо рівняння

$$t_0 = \left\langle {}^0\mathcal{F}^{(2)} \left(\sqrt{\frac{A(1)}{t_0}} \xi \right) \right\rangle_{\xi}. \quad (5.11)$$

Для одержання конкретних результатів в однопетлевому наближенні у виразах (5.1), (5.5а), (5.5б) і (5.7) слід обмежитись розкладом величин $\langle {}^0\mathcal{F}^{(l)}(\chi_{\xi}/t) \rangle_{\xi}$ з точністю до $\tilde{\lambda}^{(2)}(t)$ ($\tilde{\lambda}^{(2)}(t) \sim r_0^{-d}$). Внаслідок одержуємо вирази для ${}^{(1)}\varphi(t)$, ${}^{(1)}\lambda^{(2)}(t)$ і $M({}^{(1)}q, t)$, а також рівняння для ${}^{(1)}m(t)$, t_0 в даному наближенні:

$${}^{(1)}\varphi(t) = \frac{1}{2} m^2 - t {}^0\mathcal{F}^{(0)} \left(\frac{\tilde{\chi}}{t} \right) - \frac{t}{2} \int_{t/{}^0\mathcal{F}^{(2)}(\tilde{\chi}/t)}^{\infty} d\xi/\xi A(\xi), \quad (5.12a)$$

$${}^{(1)}m(t) = {}^0\mathcal{F}^{(1)}(\chi) + \frac{1}{2} \frac{{}^0\mathcal{F}^{(3)}(\tilde{\chi}/t)}{{}^0\mathcal{F}^{(2)}(\tilde{\chi}/t)} A(t/{}^0\mathcal{F}^{(2)}(\tilde{\chi}/t)), \quad (5.12b)$$

$${}^{(1)}\tilde{\lambda}^{(2)}(t) = A(t/{}^0\mathcal{F}^{(2)}(\tilde{\chi}/t)) / {}^0\mathcal{F}^{(2)}(\tilde{\chi}/t), \quad (5.12c)$$

$$\begin{aligned} {}^{(1)}M(q, t) = & {}^0\mathcal{F}^{(2)}(\tilde{\chi}/t) + \frac{1}{2} \frac{{}^0\mathcal{F}^{(4)}(\tilde{\chi}/t)}{{}^0\mathcal{F}^{(2)}(\tilde{\chi}/t)} A(t/{}^0\mathcal{F}^{(2)}(\tilde{\chi}/t)) + \\ & + \frac{1}{2} [{}^0\mathcal{F}^{(3)}(\tilde{\chi}/t)]^2 B(q, t), \end{aligned} \quad (5.12d)$$

$${}^{(1)}t_0 = {}^0\mathcal{F}^{(2)}(0) + \frac{1}{2} {}^0\mathcal{F}^{(4)}(0) / {}^0\mathcal{F}^{(2)}(0) A({}^{(1)}t_0 / {}^0\mathcal{F}^{(2)}(0)). \quad (5.12d)$$

При розрахунках з точністю r_0^{-d} необхідно в доданках з $A(x)$ і $B(q, t)$ виразів для термодинамічних характеристик ІМД, записаних в однопетлевому наближенні, брати значення ${}^{(1)}m(t)$ в наближенні молекулярного поля (НМП $\sim (r_0^{-d})^0$).

Зупинимось тепер коротко на результатах числових розрахунків. Спочатку за $J(q)$ візьмемо короткодіючу взаємодію у наближенні найближчих сусідів (ННС) і проаналізуємо результати розрахунків, які відомі з літературних джерел. У праці [12] рівняння (5.5) було одержано вперше, однак розв'язувалось графічно лише рівняння (5.11) у випадку $S = 1$. У працях [14, 16] вперше провадився числовий аналіз системи (5.5), і в [16] наведено графіки залежностей $m(t)$ і $\mathcal{L}^{-1}(t)$ (при $t \geq t_0$) у випадку $S = 1$ для ПК, ГЦК, ОЦК і алмазної граток. Точка t_0^- (t_0^- — границя стійкості впорядкованої фази), в якій зникають розв'язки (5.5) для $m(t)$, розміщена вище точки розбіжності $\mathcal{L}(t)$. У працях [14, 16] зазначено, що рівняння (5.5) описують фазовий перехід першого роду. Цей недолік пов'язувався з тим, що сумування двохвосток відповідає врахуванню флюктуацій $\sim 1/z$ і не є послідовним поблизу точного значення температури фазового переходу t_c^T , коли $\tau = (t - t_c^T)/t_c^T \leq z^{-2}$. У випадку $S = 1, 2, 3, \infty$ для всіх вказаних вище граток в [14] були розраховані t_0^- . Слід зазначити, що, результати для t_0^- при $S = 1$ приблизно на 1 % занижені у порівнянні з результатами високотемпературних наближень (ВТР). Ще краща згода мала місце у випадку значень спіна $S > 1$. Криві для намагніченості $m(t)$ і оберненої сприйнятливості $\mathcal{L}^{-1}(t)$ для ПК ($S = 1$) дуже близькі до числових результатів [14, 20, 33]. Результати праць [12, 14], а також значення t_c^B , одержані із ВТР [20], у випадку ННС наведені у табл. 1.

У [14, 16] значення t_0 не наведені, однак їх автори зазначають, що t_0 нижче t_c^B на 5—8 %. У той же час значення t_0 в [12] занижені в порівнянні з t_c^B на 10—13 %.

У [14—16] не було одержано вираз для вільної енергії і тому не могла бути розрахована температура фазового переходу першого роду t_c ($t_0 < t_c < t_0^-$). Ми проводили числовий аналіз вільної енергії і параметра по-

рядку для моделі Ізінга з унарним базисом ($S = 1$) на гіперкубічних гратках у двох наближеннях: одна сума за q і з урахуванням двохвосток. Розглядались два варіанти ефективної взаємодії між квазіспінами:

$$j(q) = 1/d \sum_{\alpha=1}^d \cos(q_\alpha), \quad -\pi \leq q_\alpha \leq \pi, \quad (5.13a)$$

$$j(q) = \begin{cases} 1 - (r_0 q)^2, & q \leq q_0 = r_0^{-1}, \\ 0, & q \geq q_0, \end{cases} \quad q \leq q_{Br} \approx 3,90. \quad (5.13b)$$

Таблиця 1

t_0, t_c	Тип гратки			
	ПК	ОЦК	ГЦК	Алмазна
$t_0 [12]$	0,656	0,712	0,739	—
$t_0^- [14]$	0,744	0,785	0,809	0,673
$t_c^B = t_0^B [20, 33]$	0,752	0,794	0,816	0,676

Один з них відповідає ННС, а другий є модельним для опису далекодіючої взаємодії. У випадку (5.13б) зона Бріллюена моделювалась сферою радіусом q_{Br} , який вибиралась за умовою $\sum_q 1 = N$. На рис. 1 наведено залежність вільної енергії від параметра порядку для $d = 3$, використовуючи ННС, у випадку наближення молекулярного поля, однопетлевого наближення і з точністю до двохвосток. Для цих же наближень, d і $J(q)$ на

рис. 2 наведено температурну залежність стаціонарних (за m) точок вільної енергії моделі, що розглядається, а також розв'язок рівняння (5.12б) для $m(t)$ з точністю до першої ітерації за $A(x)$ (наближення r_0^{-3} ($r_0 \sim 1$)). Спочатку зупинимося на результатах однопетлевого наближення для $d = 3$ і (5.13а). На рис. 1 і 2 видно, що у даному випадку при $t_0 \approx 0,759$ має місце фазовий пере-

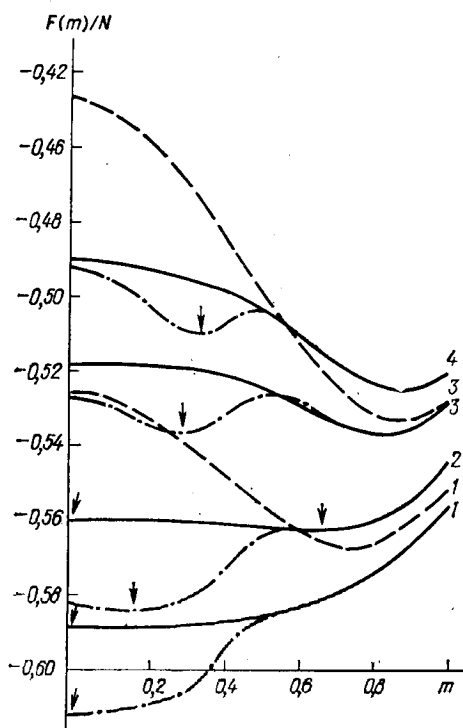


Рис. 1. Залежність вільної енергії моделі Ізінга від намагніченості при різних температурах (штрихова крива — НМП; штрихпунктирна — однопетлеве наближення; суцільна — з урахуванням двохвосток для $J(q)$ (5.13а))

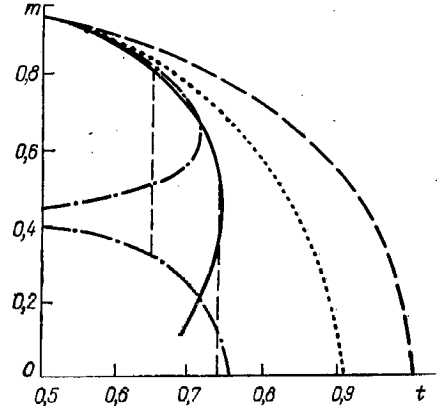


Рис. 2. Температурна залежність намагніченості для моделі Ізінга з $J(q)$ (5.13а) (штрихова крива — НМП; шрихпунктирна — однопетлеве наближення; пунктирна — r_0^{-3} ; суцільна — з урахуванням двохвосток)

хід другого роду ($\mathcal{L}^{-1}(t_0) = 0$). Другий локальний мінімум $\varphi(t, m)$ за t , який з'являється при $t_0^- = 0,72$, при $t_c^\Delta \approx 0,645$ стає абсолютноним. Таким чином, має місце стрибок параметра порядку (з $m \approx 0,31$ на $m \approx 0,83$). При подальшому пониженні температури $m(t)$ росте монотонно і переходить у відповідний результат НМП. При $t' < 0,50$

Таблиця 2

d	Однопетлеве наближення	Наближення двохвосток	ВГР (t_c)	Кластерне наближення	Тип кластера
1	—	—	0	0	—
1	—	—	0,567	0,721	—
				0,693	□
2	$0,645(t_0^\Delta)$	$0,659t_0$		0,822	—
3	$0,759(t_0)$	$0,738t_c$	0,752	0,815	□
	$0,91(t_0, r_0^{-3})$	$0,744t_c^-$		0,806	□

перший мінімум зникає. Невважаючи на близькість $t_0 \approx 0,759$ до $t_c^b \approx 0,752$, в однопетлевому наближенні термодинамічні характеристики моделі Ізінга з короткодією (5.13а) описуються явно незадовільно. При розв'язанні рівняння (5.12г) з точністю до r_0^{-3} температурна залежність $m(t)$ виявляється якісно правильною. Проте при цьому результат для температури фазового переходу другого роду $t_0 \approx 0,91$ значно перевищує $t_0^b \approx 0,752$, хоч і кращий за НМП.

Ситуація значною мірою покращується при врахуванні двохвосток (див. рис. 1 і 2). У цьому наближенні при $t_0^- = 0,744$ виникає другий локальний мінімум. Перший залишається в точці $m = 0$ до точки перегину $t_0 \approx 0,659$.

При $t_c = 0,738$ (точка фазового переходу першого роду) мінімум стає абсолютноним (при $m \approx 0,56$). При цьому значення $m(t)$ для $t < t_c$ близькі до результатів числових розрахунків (див. рис. 2).

У табл. 2 для моделі Ізінга ($S = 1$) наведено результати розрахунку t_0 , t_c або t_0 , отримані на основі $J(q)$ із (5.13а) в різних наближеннях (одна сума за q , врахування двохвосток, перший порядок кластерного розкладу для різного типу кластерів). Відомо [5, 6, 20], що при описі термодинамічних властивостей низькорозмірних ($d = 1, 2$) ізінгівських моделей з короткодіючими взаємодіями у рамках кластерного наближення одержано цілком задовільні результати. Тоді у даному випадку наближення (5.1) і (5.5) непридатні. Це пов'язано з тим, що нас цікавить область температур

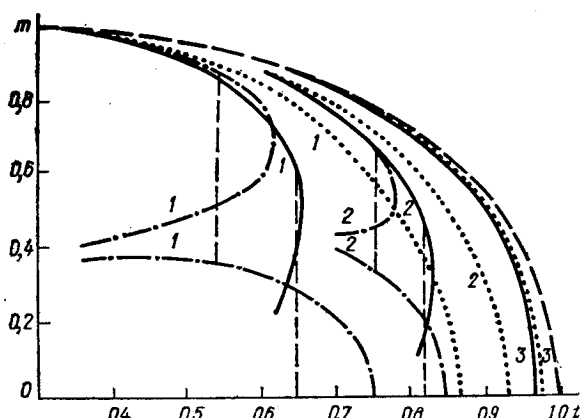


Рис. 3. Температурна залежність намагніченості для моделі Ізінга з $J(q)$ (5.13б) і при різних значеннях r_0 (1 — 1,36; 2 — 1,96; 3 — 3,90): штрихові криві — НМП; штрихпунктирні — однопетлеве наближення; пунктирні — r_0^{-3} ; суцільні — з урахуванням двохвосток; для $r_0 = 3,90$ штрихові і пунктирні криві не відрізняються

У табл. 2 для моделі Ізінга ($S = 1$) наведено результати розрахунку t_0 , t_c або t_0 , отримані на основі $J(q)$ із (5.13а) в різних наближеннях (одна сума за q , врахування двохвосток, перший порядок кластерного розкладу для різного типу кластерів). Відомо [5, 6, 20], що при описі термодинамічних властивостей низькорозмірних ($d = 1, 2$) ізінгівських моделей з короткодіючими взаємодіями у рамках кластерного наближення одержано цілком задовільні результати. Тоді у даному випадку наближення (5.1) і (5.5) непридатні. Це пов'язано з тим, що нас цікавить область температур

$t < 1$. При цьому функція $A(x)$ в (5.5б) використовується при $x < 1$. Проте в даній області x для $d = 1 A(x) = -1$, а для $d = 2 A(x) > 0$ лише при $x \simeq 1$. Тому рівняння (5.5б) при $t < 1$ не має додатних розв'язків для $\bar{\lambda}^{(2)}$, що приводить до розбіжності інтегралів за $\sigma = \xi \sqrt{\bar{\lambda}^{(2)}}$ (див. (5.2)).

Навпаки, для тривимірних ізінгівських моделей з короткодією при описі термодинамічних властивостей може бути застосовано (крім вузького околу t_c) метод, пов'язаний із сумуванням багатохвосток.

Тепер коротко зупинимося на результатах, які одержано на основі (5.13б). Залежність вільної енергії від параметра порядку m у даному випадку для цих же наближень, що і для (5.13а), подібна до наведеної на рис. 1. З ростом $r_0 (r_0 = [r_{\text{БР}}, \infty], r_{\text{БР}} = q_{\text{БР}}^{-1} \simeq 0,257)$ криві для вільної енергії переходят у результати НМП. На рис. 3 для різних наближень і значень r_0 наведені температурні залежності стаціонарних за m точок вільної енергії. Зазначимо, що при малих значеннях r_0 криві на рис. 3 подібні до відповідних кривих на рис. 2. З ростом r_0 стрибики намагніченості в однопетлевому наближенні і з урахуванням двохвосток швидко зменшуються і криві для температурного ходу $m(t)$ в цих наближеннях практично зливаються.

Отже, на основі проведених нами числових розрахунків показано, що для тривимірної моделі Ізінга в наближенні, яке враховує двохвостки, має місце фазовий перехід першого роду для обох типів взаємодій (5.13а) і (5.13б). Щоб виправити цю некоректність, необхідно брати до уваги більш високі порядки наближень (трихвостки і т. ін.). І справді, у праці [34] на основі дослідження рівняння для намагніченості аналітично показано, що при врахуванні трихвосток для далекодіючої взаємодії (5.13б) має місце фазовий перехід другого роду.

Таким чином, розрахунки термодинамічних характеристик моделі Ізінга з унарним базисом у випадку далеко- і короткодіючих взаємодій (ННС) і аналіз літературних джерел [12—20, 33—35] дозволяють зробити відповідні висновки щодо коректності і актуальності розробки базисного підходу для опису квазіспінових систем з суттєвими короткодіючими кореляціями і далекодіючими взаємодіями.

1. Тябликов С. В. Квантовая теория магнетизма.— М. : Наука, 1975.— 527 с.
2. Изюмов Ю. А., Кассан-оглы Ф. А., Скрябин Ю. Н. Полевые методы в теории ферромагнетизма.— М. : Наука, 1974.— 224 с.
3. Изюмов Ю. А., Скрябин Ю. Н. Статистическая механика магнитоупорядоченных систем.— М. : Наука, 1987.— 264 с.
4. Барьяхтар В. Г., Криворучко В. Н., Яблонский Д. А. Функции Грина в теории магнетизма.— Киев : Наук. думка, 1984.— 336 с.
5. Вакс Б. Г. Введение в микроскопическую теорию сегнетоэлектриков.— М. : Наука, 1973.— 327 с.
6. Вакс Б. Г., Зиненко В. И., Шнейдер В. І. Микроскопические теории структурных фазовых переходов типа порядок — беспорядок // УФН.— 1983.— 141, вып. 4.— С. 629—673.
7. Steiner M., Villain E., Windzor C. G. Theoretical and experimental studies on one-dimensional magnetic systems // Adv. Phys.— 1976.— 25, N 2.— Р. 87—209.
8. Стасюк Й. В., Левицкий Р. Р. Об элементарных возбуждениях в сегнетоэлектриках с водородной связью // УФЖ.— 1969.— 14, № 7.— С. 1097—1105.
9. Vujićić G. M., Aksenov V. L., Plakida V. M., Stamenković S. On the role of the quasilocal excitations in the lattice of high- T_c superconductors // Phys. Lett A.— 1979.— 73, N 5.— Р. 439—441.
10. Вакс Б. Г., Ларкин А. И., Пикин С. А. Термодинамика идеального ферромагнетика // ЖЭТФ.— 1967.— 53, вып. 1.— С. 281—299. Спиральные волны и корреляционные функции в ферромагнетике / Там же.— 1967.— 53, вып. 3.— С. 1089—1106.
11. Левицкий Р. Р., Стасюк Й. В. Приближение самосогласованного поля в модели де Жена // УФЖ.— 1974.— 19, № 8.— С. 1331—1338.
12. Horwitz G., Gellen H. B. Diagrammatic expansion for the Ising model with arbitrary spin and range interaction // Phys. Rev.— 1961.— 124, N 6.— Р. 1757—1785.
13. Englert F. Linked cluster expansions in the statistical theory of ferromagnetism // Ibid.— 1963.— 129, N 2.— Р. 567—577.

14. Garanin D. A., Lutovinov V. S. An aguation of the state of Ising model // Solid State Commun.— 1984.— 49, N 11.— P. 1049—1054.
15. Garanin D. A., Lutovinov V. S. Phase transition in classical vector model // Ibid.— 1984.— 50, N 3.— 219—222.
16. Гаранин Д. А., Лутовинов В. С. Квазитеїлоровські ряди в теорії магнетизму // ТМФ.— 1985.— 62, № 2.— С. 263—271.
17. Опушкевич З. On new approach to the Heisenberg ferromagnet // Phys. Lett.— 1976.— 57A, N 5.— P. 480—482.
18. Стасюк І. В. Уравнения для спиновых корреляторов в модели Изинга // ФММ.— 1971.— 7, № 4.— С. 669—704.
19. Церковников Ю. А. Вычисление корреляционных функций в модели Изинга с дальнодействием // ТМФ.— 1972.— 11, № 1.— С. 385—402.
20. Смарт Дж. Ефективное поле в теории магнетизма.— М.: Мир, 1968.— 271 с.
21. Юхновский И. Р. Применение коллективных переменных и учет короткодействующих сил в теории заряженных частиц // ЖЭТФ.— 1958.— 34, вып. 2.— С. 379—389.
22. Юхновский И. Р. К статистической теории конденсированных систем с дальнодействующими и короткодействующими взаимодействиями.— Київ, 1979.— 34 с.— (Препр./ АН УССР. Ін-т теорет. фізики; ІТФ-79-133Р).
23. Юхновский И. Р., Головко М. Ф. Статистическая теория классических равновесных систем.— Київ : Наук. думка, 1980.— 372 с.
24. Golovko M. F., Yukhnovsky I. R. Approaches to the many-body theory of the dense ion-dipole plasma. Application to ionic solvation // Chemical Physics of Solvation. Vol. 1.— Amsterdam: Elsevier, 1985.— P. 138—183.
25. Юхновский И. Р. Метод смещений и коллективных переменных.— Київ, 1971.— 82 с.— (Препр./ АН УССР. Ін-т теорет. фізики; ІТФ-71-26Р).
26. Ваврух М. В. n -Частичные корреляционные функции взаимодействующего электронного газа // ТМФ.— 1987.— 50, № 3.— С. 430—432.
27. Ваврух М. В., Крохмальский Т. Е. Эффективные многочастичные взаимодействия ионов в металлах // Там же.— 1987.— 51, № 3.— С. 130—141.
28. Ваврух М. В. Базисный учет короткодействующих корреляций в многочастичных электронных системах.— Київ, 1987.— 36 с.— (Препр./ АН УССР. Ін-т теорет. фізики, ІТФ-87-56Р).
29. Юхновский И. Р., Левицкий Р. Р., Сороков С. И. Теория квазиспиновых систем с базисным учетом короткодействующих взаимодействий. Разложение по обратному радиусу дальнодействующего взаимодействия.— Київ, 1986.— 48 с.— (Препр./ АН УССР. Ін-т теорет. фізики; ІТФ-86-132Р).
30. Юхновский И. Р., Сороков С. И., Левицкий Р. Р. Теория квазиспиновых систем с базисным учетом короткодействующих взаимодействий. Суммирование приводимых диаграмм.— Київ, 1986.— 48 с.— (Препр./ АН УССР. Ін-т теорет. фізики; ІТФ-86-154Р).
31. Юхновский И. Р., Левицкий Р. Р., Сороков С. И. Теория квазиспиновых систем с базисным учетом короткодействующих взаимодействий // Современные проблемы статистической физики. Тр. Всесоюз. конф. Т. 1.— Київ : Наук. думка, 1989.— С. 392—398.
32. Юхновский И. Р., Левицкий Р. Р., Сороков С. И., Держко О. В. Теория квазиспиновых систем, описываемых квазиодномерной моделью Изинга в поперечном поле, с базисным учетом короткодействующих взаимодействий // Изв. АН СССР. Сер. фіз.— 1991.— 55, № 3.— С. 481—490.
33. Silva P. R., Sa Barreto F. C. Transition temperature for effective field Ising model // Phys. status solidio (b).— 1982.— 113, N 1.— P. 67—72.
34. Попов М. А. Гаусово приближение в модели Изинга с дальнодействием // ТМФ.— 1990.— 83, № 3.— С. 455—461.
35. Рюзль Д. Статистическая механика. Строгие результаты.— М.: Мир, 1971.— 367 с.

Інститут фізики конденсованих систем
АН України, Львів

Одержано 9.07.92

УДК 538.945

I. В. СТАСЮК, А. М. ШВАЙКА

ЕЛЕКТРОННИЙ СПЕКТР ТА ЕФЕКТИВНА ОБМІННА ВЗАЄМОДІЯ В МОДЕЛІ МЮЛЛЕРА У ТЕОРІЇ ВИСОКОТЕМПЕРАТУРНОЇ НАДПРОВІДНОСТІ

Для моделі Хаббарда при врахуванні взаємодії з локальними ангармонічними коливаннями (так звана модель Мюллера) проведено самоузгоджений розрахунок спектра одноелектронних збуджень у наближенні Хаббард-I і дослідження ефективної обмінної взаємодії між електронами. Використано підхід, що ґрунтуються на точному розв'язку

© І. В. Стасюк, А. М. Швайка, 1993